

道路の危機禁止区間ににおける交通流の遅れについて

山口大学 正員 田村洋一

1. はじめに： 道路の混雑と交通流の速度との関係を表すものとして、これまで一般に用いられているものに、交通密度と混雑の尺度として、交通流の圧縮性流体式(1)(2)より U_c を消去し μ について解くと次式が得られる。

$$Z_c = \frac{U_c - \mu}{\sigma} \quad \dots \dots \dots (1) \quad -Z_{cf} = \frac{U_c - \mu_f}{\sigma_f} \quad \dots \dots \dots (2)$$

式(1)(2)より U_c を消去し μ について解くと次式が得られる。
式(3)ここで、もし $\mu_f, \sigma_f, \sigma, Z_{cf}, Z_c$ が知らばれば、式(3)にて速度の計算が可能となる。
 $P_f = P_1 + P_2 \quad \dots \dots \dots (4)$
このとき Z_{cf}, Z_c を知ることができる。また、
 P_f が決まれば U_c が決定的である。
したがって Z_{cf}, Z_c を求めるには式(3)は簡単に次式となる。

$$\mu = \mu_f - \sigma_f Z_{cf} - \sigma Z_c \quad \dots \dots \dots (3)$$

研究においては、交通流の速度低下を車群の形成過程としてとらえることにより、交通流の遅れを表現するモデルを説明することを試みた。以下の基本的な考え方と実測データに対してあわせて結果を報告して、批判を仰ぐたい。

ここで、もし $\mu_f, \sigma_f, \sigma, Z_{cf}, Z_c$ が知らばれば、式(3)にて速度の計算が可能となる。

$$P_f = P_1 + P_2 \quad \dots \dots \dots (4)$$

2. モデルの基本的考え方： モデルの基本的仮定は、
① 交通流を構成している個々の車は各自希望速度を持ち全体として速度分布は正規分布すること。

とおり、車頭時間 t_0 以上に車は全て自由車であると可

る。車頭時間 t_0 以下に車は追従車であるとし、また t_0 は最小値 t_{0f} となり、このとき、車頭時間 t_0 以下の車は全て追従車であるとし、また t_0 は最大値 t_{0d} となる。

② 連続する車の速度差の分布は平均が 0 の正規分布し、その分散は車頭時間の増加函数であること。

とおり、車頭時間 t_0 以上に車は全て自由車であると可

る。車頭時間 t_0 以下に車は追従車であるとし、この範囲の車頭時間 t_0 における $t_{0d}(t)$ は、自由車割合 $\alpha(t)$ を用いて次式で表わされるものとする。

$$t_{0d}(t) = \alpha(t) t_{0f}^2 + [1 - \alpha(t)] t_{0d}^2 \quad \dots \dots \dots (6)$$

これで $\alpha(t)$ について解くと次式が得られる。

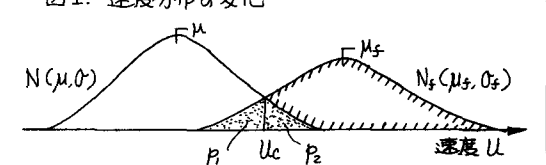
$$\alpha(t) = \frac{t_{0d}(t) - t_{0f}}{t_{0d}^2 - t_{0f}^2} \quad \dots \dots \dots (7)$$

上の $\alpha(t)$ を用いて P_f は次式により計算される。(図2参照)

$$P_f = \int_{t_0}^{t_f} \alpha(t) h(t) dt + \int_{t_f}^{\infty} h(t) dt \quad \dots \dots \dots (8)$$

$h(t)$: 車頭時間分布 $P_d(t)$

—図2. 車頭時間分布と P_f —



—図1. 速度分布の変化—

3. 実測データ：データは全て道路の追越禁止区間で観測されたものである。 $\sigma(t)$ の関数形を決定するため車頭時間と速度差の分布の標準偏差 σ_0 との関係をプロットしたのが図3である。これより σ_0 と t とは直線関係にあると仮定され、したがって $\sigma(t)$ は t に関する2次関数となることがわかった。 $\sigma(t)$ が求められたので、車頭時間分布と対数正規分布と指數分布の複合分布として、式(7)より P_f を計算して図3表1の値を得た。

速度分布の標準偏差 σ と交通量との関係をプロットして図4の結果を得た。これより σ は交通量に随ずらずせず、ほぼ一定であると見せ、式(5)を用いて速度計算が可能であることがわかった。また σ が一定である場合には P_f に対して σ の値は一意的に定まり、速度計算は非常に簡単に行なう得る。(山本)

以上のことから式(5)による速度の計算が可能となったが、実際にはデータより直接求めることは問題があるので、ここでは次のようない法により平均速度 u_f を推定して。すなわち、交通データから取られた瞬の平均速度 u^* とするとこのときの交通量 Q に対する u^* を計算し、これらの値を用いて、式(5)を u_f について解いた式により u_f を推定して。

$$u_f = u^* + 2\sigma_{\bar{u}} \quad \dots \dots \dots \quad (4)$$

以上の方針により求められた諸数値を用いて計算した速度と実測 u_f との比較を図5に示す。ただし、交通量 $Q = 1566$ 以後については図中に示されていない。交通密度を説明変数とするモデルを当てはめること、ここで提案したモデルは実際の交通流を十分良く表現可能かわかる。

交通量	100	200	300	400	500	600	700	800	900	1000	1100	1200	1300	1400	1500	1566
P_f	0.725	0.608	0.523	0.456	0.401	0.355	0.317	0.276	0.256	0.233	0.212	0.194	0.178	0.166	0.155	0.148
\bar{u}	0.35	0.51	0.64	0.75	0.84	0.93	1.00	1.09	1.14	1.19	1.25	1.30	1.35	1.39	1.42	1.45

したがって交通現象

は連続的な現象ではなく

不連続現象以後は交通密度をパラメータとするモデルの適用が有効であると考えられる。

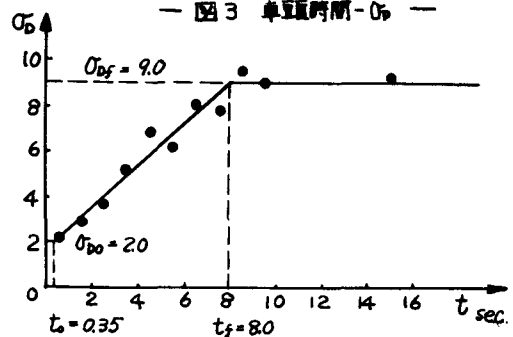
そこで今後の研究の課題となるのは、その不

連続現象をどのようにし

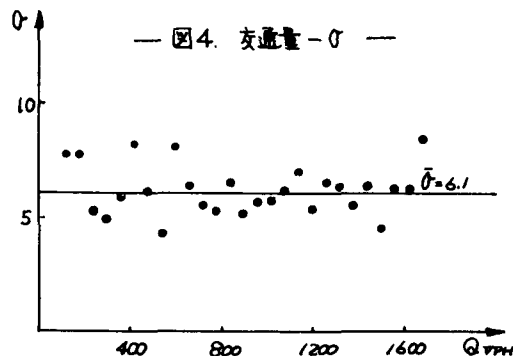
て明らかにしてゆくか

である。(本研究成績賞科研究費補助金奨励研究(A)に賛同があり、ここに記して謝意を表す。)

— 図3 車頭時間- σ —



— 図4. 交通量- σ —



— 表1. 交通量に対する P_f , \bar{u} の値 —

交通量	100	200	300	400	500	600	700	800	900	1000	1100	1200	1300	1400	1500	1566
P_f	0.725	0.608	0.523	0.456	0.401	0.355	0.317	0.276	0.256	0.233	0.212	0.194	0.178	0.166	0.155	0.148
\bar{u}	0.35	0.51	0.64	0.75	0.84	0.93	1.00	1.09	1.14	1.19	1.25	1.30	1.35	1.39	1.42	1.45

— 図5 —

